

PATENTOVÝ SPIS

(19)
ČESKÁ
REPUBLIKA



ÚŘAD
PRŮMYSLOVÉHO
VLASTNICTVÍ

(56) Relevantní dokumenty:

Štarha, Pavel, et al. "How to modify 7-azaindole to form cytotoxic Pt (II) complexes: Highly in vitro anticancer effective cisplatin derivatives involving halogeno-substituted 7-azaindole." Journal of inorganic biochemistry 115 (2012): 57-63.; Štarha, Pavel, et al. "Pharmacological and Molecular Effects of Platinum (II) Complexes Involving 7-Azaindole Derivatives." PloS one 9.3 (2014): e90341.
; Muchova, Tereza, et al. "Insight into the toxic effects of cis-dichloridoplatinum (II) complexes containing 7-azaindole halogeno derivatives in tumor cells." JBIC, Journal of biological and inorganic chemistry 18.5 (2013): 579-589..
CZ 20110000626 A1.

(73) Majitel patentu:

Univerzita Palackého, Olomouc, CZ

(72) Původce:

prof. RNDr. Zdeněk Trávníček, Ph.D., Štěpánov,
CZ
Mgr. Pavel Štarha, Ph.D., Dub nad Moravou, CZ
prof. RNDr. Zdeněk Dvořák, Ph.D. DrSc.,
Olomouc, CZ

(74) Zástupce:

Ing. Petr Soukup, Vídeňská 8, 772 00 Olomouc

(54) Název vynálezu:

**Dijodo-komplexy platiny a jejich použití pro
přípravu léčiv k léčbě nádorových
onemocnění**

(57) Anotace:

Dijodo-komplexy platiny v oxidačním stupni +II se 7-azaindolem nebo jeho deriváty obecného vzorce *cis*-[Pt(L)₂I₂] I, vyjádřené strukturálním vzorce I', kde symbol L představuje 7-azaindol nebo jeho derivát vázaný na atom platiny přes atom dusíku N7, přičemž pokud L představuje derivát 7-azaindolu, tak alespoň jeden ze substituentů R2, R3, R4 a R5 je vybrán z funkčních skupin alkyl nebo halogen, kde halogen je vybrán ze skupiny F, Cl, Br, I, a alkyl představuje rozvětvený nebo nerozvětvený uhlovodíkový řetězec z 1 až 6, především pak z 1 až 4, atomů uhlíku. Komplexy jsou určeny jako farmakologické prostředky pro použití pro léčbu prsního karcinomu a/nebo pro léčbu osteosarkomu a/nebo pro léčbu karcinomu vaječníku a/nebo pro léčbu karcinomu vaječníku resistenčního vůči cisplatině a/nebo pro léčbu karcinomu prostaty a/nebo pro léčbu karcinomu plic a/nebo pro léčbu karcinomu děložního čípku a/nebo pro léčbu maligního melanomu.

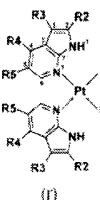
(11) Číslo dokumentu:

305 374

(13) Druh dokumentu: **B6**

(51) Int. Cl.:

C07F 15/00	(2006.01)
C07D 471/04	(2006.01)
A61K 31/437	(2006.01)
A61K 33/24	(2006.01)
A61P 35/00	(2006.01)



Dijodo-komplexy platiny a jejich použití pro přípravu léčiv k léčbě nádorových onemocnění

5 Oblast techniky

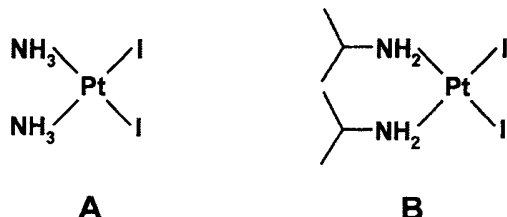
Předložený vynález se zabývá dijodoplatnatými komplexy se 7-azaindolem nebo jeho deriváty a jejich použití k přípravě léčiv pro léčbu nádorových onemocnění, konkrétně pak pro léčbu prsního karcinomu, osteosarkomu, karcinomu vaječníků, karcinomu vaječníků resistantního vůči *cisplatině*, karcinomu prostaty, karcinomu plic, karcinomu děložního čípku a/nebo maligního melanomu.

15 Dosavadní stav techniky

Původním, a do současnosti stále v onkologické praxi nejpoužívanějším, chemoterapeutikem na bázi platiny, je *cis*-diamin-dichloroplatnatý komplex, *cis*-[Pt(NH₃)₂Cl₂]), obecně známý pod názvem *cisplatina*. Používá se především při terapii karcinomů (např. vaječníků), ale i dalších typů nádorů (sarkomy, lymfomy). Nedostatky klinické aplikace *cisplatiny* jsou její negativní vedlejší účinky (např. nefrotoxicita, neurotoxicita, myelosuprese) a přirozená nebo získaná rezistence některých nádorů vůči *cisplatině*. Nejen z těchto důvodů je výzkum a vývoj koordinačních sloučenin platiny i po půl století od objevu protinádorových účinků *cisplatiny* stále moderní a dynamicky se rozvíjející výzkumnou oblastí bioanorganické a medicinální chemie, jejímž ideálním cílem je příprava takové látky, která by při aplikaci vyvolávala vyšší protinádorové účinky a její negativní výše zmíněné vedlejší účinky, doprovázející léčbu, by byly současně potlačeny, případně by její aplikace nebyla provázena problémy s rezistencí.

Od počátku výzkumu protinádorově aktivních komplexů platiny bylo na dijodo-komplexy nahlízeno jako na farmakologicky málo perspektivní deriváty *cisplatiny*, protože již *cis*-diamin-dijodoplatnatý komplex, *cis*-[Pt(NH₃)₂I₂] (vzorec A), byl prokázán jako protinádorově téměř neaktivní (Cleare and Hoeschele, Bioinorg. Chem.

30 1973, 2, 187). Nicméně, i přesto byly nadále vyvíjeny a zkoumány nové dijodo-komplexy platiny, přičemž zcela ojediněle bylo v případě takovýchto sloučenin zjištěno, že látky vykazují výraznou protinádorovou aktivitu, dokonce i vyšší ve srovnání s klinicky užívanými metaloterapeutiky na bázi platiny (např. Messori *et al.*, ACS Med. Chem. Lett. 2010, 1, 381; vzorec B).



40 Na základě literárního průzkumu je tedy zřejmé, že protinádorovou aktivitu dijodoplatnatých komplexů nelze předem predikovat. Lze ale také současně nepřímo vyvodit, že případná protinádorová aktivita u takovýchto systémů může být odvislá od použitého nosného *N*-donorového ligandu, což ale nic nemění na výše uvedené skutečnosti, že v obecné rovině nelze protinádorový účinek předem očekávat. Tento zobecněný závěr pak může být podpořený faktrem, že dosud žádný z připravených dijodo-komplexů platiny nevstoupil jako léčivo do klinické praxe.

45 S předmětnými látkami předloženého spisu, kterými jsou dijodoplatnaté komplexy s deriváty 7-azaindolu (L) obecného vzorce *cis*-[Pt(NH₃)₂I₂] (I), souvisí v literatuře popsané dijodo komplexy platiny v oxidačním stupni +II obsahující ve své struktuře jednu nebo dvě monodentátní hetero-

cyklické molekuly (L') koordinované na centrální Pt(II) atom přes endocyklický atom dusíku, jejichž obecný vzorec lze vyjádřit jako *cis**Itrans*-[Pt₂(L')₂] nebo *cis**Itrans*-[Pt₂(L') L'']) (L'' = ligand odlišný od L'), a u kterých byla studována a popsána jejich cytotoxicita, především pak protinádorová aktivita. Ve spisu WO2012/085 475 jsou popsány platnaté komplexy obsahující karbenové ligandy a pyridin a jejich terapeutické využití k léčbě různých nádorových onemocnění. V práci Huq *et al.* Int. J. Cancer Res. 2006, 2, 367 byl popsán komplex s 2,3-pyridindiaminem, u kterého sice nebyla stanovena jeho *in vitro* cytotoxicita, jako u v práci popsaných dichloro-komplexů, ale bylo prokázáno, že tento komplex ve srovnání s dichloro analogem méně proniká do nádorových buněk a méně se váže na jejich DNA. Komplexy *cis*-[Pt(NH₃)₂I₂] a *cis*-[Pt(NH₃)(dptp)₂] s 5,7-difenyl-1,2,4-triazolo[1,5- α]pyrimidinem (dptp) byly testovány vůči A549 plicnímu a T47D prsnímu karcinomu, avšak vykazovaly nižší cytotoxicickou aktivitu ve srovnání s dichloro analogy i s *cisplatinou* (Lakomska *et al.*, Spectrochim. Acta A, 91, 2012, 126). Dalšími v literatuře popsanými dijodoplatnatými komplexy jsou tři látky obecného složení *cis*-[Pt(n Im)₂I₂], kde n Im symbolizuje imidazol a jeho deriváty di(1*H*-imidazol-2-yl)methan a dimethyl-2-(di(1*H*-imidazol-2-yl)methyl)malonát, přičemž pouze poslední z těchto látek byla testována vůči lidským nádorovým liniím karcinomu vaječníku A2780, *cisplatin*-resistantní karcinomu vaječníku A2780Cp8 a kolorektálního karcinomu HCT116, na kterých byly signifikantně méně aktivní ve srovnání s *cisplatinou*, *karboplatinou* i *oxaliplatinou* (Ravera *et al.*, J. Inorg. Biochem. 2011, 105, 400). Ve struktuře dijodoplatnatého komplexu s L-histidinem je zmíněny ligand koordinovaný na centrální atom přes jeden endocyklický a jeden exocyklický atom dusíku, komplex však byl, na rozdíl od analogického dichloro komplexu, *cisplatinu* a *karboplatinu*, inaktivní vůči lidským nádorovým buněčným liniím prsního karcinomu A549/ATCC, kolorektálního karcinomu HT-29 a karcinomu prostaty LNCaP (Ye *et al.*, Chem. Pharm. Bull. 2009, 57, 424).

Pokud se zaměříme na druhou část molekuly předložených dijodoplatnatých komplexů s deriváty 7-azaindolu (L) obecného vzorce *cis*-[Pt(L)₂I₂] (**I**), která je tvořena dvěma deriváty 7-azaindolu (L), které se na centrální atom koordinují přes N7 endocyklický atom dusíku, je třeba zmínit, že bylo v literatuře popsané několik dihalogeno komplexů platiny v oxidačním stupni +II se 7-azaindolem nebo jeho deriváty koordinujícími se na centrální atom přes endocyklický dusík, přičemž tyto komplexy byly podrobeny studiu cytotoxicke aktivity. V konkrétním přiblížení se jedná o *cis*-[Pt(L)₂X₂] komplexy (X = Cl nebo I) se 7-azaindolem (L), jež byly popsány (Harrison *et al.*, Inorg. Acta 1984, 92, 43) jako *in vivo* protinádorově neefektivní (Yoshida-sarkom, osteosarkom, ADJ/PC6A tumor, P388 myší lymfocytická leukémie). U komplexu *cis*-[Pt(L)₂Cl₂] se 7-azaindolem (L) byla navíc studována *in vitro* cytotoxicita vůči lidským nádorovým buněčným liniím osteosarkomu HOS a prsního karcinomu MCF7, avšak vzhledem k jeho omezené rozpustnosti u nich nebyla žádná výrazná aktivita ($IC_{50} > 1,0 \text{ }\mu\text{M}$) zjištěna (Štarha *et al.*, Polyhedron 2012, 33, 404). New *et al.* (J. Inorg. Biochem. 2009, 103, 1120) studovali komplexy *cis*-[Pt(NH₃)(L)Cl₂] a *trans*-[Pt(NH₃) (L) Cl₂] (L = 7-azaindol), jež vykázaly nižší protinádorovou aktivitu *in vitro* na linii A2780 ve srovnání s *cisplatinou*. U komplexů výše zmíněného typu *cis*-[Pt(L)₂Cl₂], které ve své struktuře obsahují halogen-deriváty 7-azaindolu (L), byla v nedávné době prokázána výrazně vyšší *in vitro* protinádorová aktivita vůči sérii lidských nádorových linií (HOS, MCF7, LNCaP, A549, A2780, *cisplatin*-resistantní karcinomu vaječníku A2780R, karcinom děložního čípku HeLa, maligní melanom G361) ve srovnání s *cisplatinou* (Štarha *et al.*, J. Inorg. Biochem. 2012, 115, 57; Trávníček *et al.*, CZ303417 (2012), Trávníček *et al.*, CZ303560 (2012); Muchová *et al.*, J. Biol. Inorg. Chem. 2013, 18, 579) a výrazná protinádorová aktivita *in vivo* na myším modelu lymfocytární leukémie (Štarha *et al.*, PLOS One 2014, 9, e90341). Stran *in vitro* protinádorové aktivity zmíněných dichloroplatnatých komplexů s halogen-deriváty 7-azaindolu je na tomto místě vhodné zmínit, že předložené dijodoplatnaté komplexy s analogickými ligandy na bázi 7-azaindolu vykazují vyšší účinek *in vitro* vůči zmíněnému širokému spektru lidských nádorových linií a z tohoto hlediska je lze pokládat za farmakologicky vysoce perspektivní substance pro klinické využití při léčbě nádorových onemocnění.

Závěrem je nutné opět konstatovat, že ačkoli předložené dijodoplatnaté komplexy se 7-azaindolem nebo jeho deriváty mohou být považovány za analogy nedávno popsaných dichloroplatnatých komplexů s halogenderiváty 7-azaindolu, obdobná záměna chloro ligandů za jodo ve

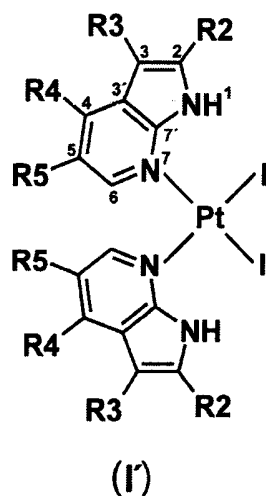
struktury platnatých komplexů není automatickou garancí výrazných cytotoxických účinků (viz výše zmíněná inaktivita *cis*-[Pt(NH₃)I₂] vs klinické onkologické využití *cis*-[Pt(NH₃)Cl₂], Cleare and Hoeschele, Bioinorg. Chem. 1973, 2, 187). Naopak, velmi často jsou dijodoplatnaté komplexy těmi méně aktivními ve srovnání s dichloroplatnatými komplexy (např. de Mier-Vinué *et al.*, J. Inorg. Biochem. 2008, 102, 973; Berger *et al.*, Chem Med Chem 2007, 2, 505–514). Z výše uvedených a literárně doložitelných faktů je i proto nezbytné nahlížet na předložené dijodoplatnaté komplexy obecného složení *cis*-[Pt(L)₂I₂] se 7-azaindolem nebo jeho deriváty (L) jako na unikátní látky s vysokou perspektivou uplatnění jako možných léčiv nádorových onemocnění.

10

Podstata vynálezu

Podstatou vynálezu jsou dijodo-komplexy platiny v oxidačním stupni +II s 7-azaindolem nebo jeho deriváty obecného vzorce *cis*-[Pt(L)₂I₂] I, vyjádřené strukturním vzorcem I'

15



kde

- symbol L představuje 7-azaindol nebo jeho derivát vázaný na atom platiny přes atom dusíku N7, přičemž pokud L představuje derivát 7-azaindolu, tak alespoň jeden ze substituentů R2, R3, R4 a R5 je vybrán z funkčních skupin alkyl nebo halogen, kde halogen je vybrán ze skupiny F, Cl, Br, I, a alkyl představuje rozvětvený nebo nerozvětvený uhlovodíkový řetězec z 1 až 6, především pak z 1 až 4, atomů uhlíku.

Také jsou podstatou vynálezu krystalosolváty komplexů platiny vzorce I a I', kde u sloučenin obecného složení *cis*-[Pt(L)₂I₂]ⁿSolv jsou

- L 7– je azaindol nebo jeho derivát vázaný na atom platiny přes atom dusíku N7
- n udává počet krystalově vázaných molekul, především 1 až 6, a
- Solv je konkrétní molekula použitého rozpouštědla a/nebo některá z reakčních komponent vybraná ze skupiny voda, primární alkohol, sekundární alkohol, aceton, *N,N'*-dimethylformamid, dimethyl sulfoxid, chloroform, dichlormethan, acetonitril nebo diethylether, a to buď samostatně, nebo v kombinaci uvedených solvátových molekul.

Rovněž je podstatou vynálezu farmakologický prostředek obsahující terapeuticky účinné množství platnatých komplexů vzorce I a I' nebo jejich krystalosolvátů s jedním či více přijatelnými nosiči a pomocnými látkami pro použití pro léčbu prsního karcinomu a/nebo pro léčbu osteosar-

komu a/nebo pro léčbu karcinomu vaječníku a/nebo pro léčbu karcinomu vaječníku resistantního vůči *cisplatině* a/nebo pro léčbu karcinomu prostaty a/nebo pro léčbu karcinomu plic a/nebo pro léčbu karcinomu děložního čípku a/nebo pro léčbu maligního melanomu.

5

Objasnění výkresů

Konkrétní příklady provedení vynálezu jsou doloženy připojenými výkresy, kde:

- obr. 1 je ^1H NMR spektrum komplexu *cis*–[Pt(L₁)₂I₂] (1; L₁ = 7-azaindol) rozpuštěného v DMF–*d*₇ měřené při teplotě 25 °C a prezentované společně s přiřazením jednotlivých vodíkových atomů číslovaných podle strukturního vzorce studovaného komplexu (I)
- obr. 2 je ^1H NMR spektrum komplexu *cis*–[Pt(L₁)₂I₂] (1; L₁ = 7-azaindol) rozpuštěného v DMF–*d*₇ měřené při teplotě 65 °C a prezentované společně s přiřazením jednotlivých vodíkových atomů číslovaných podle strukturního vzorce studovaného komplexu (I)
- 15 – obr. 3 je ^{13}C NMR spektrum komplexu *cis*–[Pt(L₁)₂I₂] (1; L₁ = 7-azaindol) rozpuštěného v DMF–*d*₇ měřené při teplotě 25 °C a prezentované společně s přiřazením jednotlivých uhlíkových atomů číslovaných podle strukturního vzorce studovaného komplexu (I)
- 20 – obr. 4 je ^{13}C NMR spektrum komplexu *cis*–[Pt(L₁)₂I₂] (1; L₁ = 7-azaindol) rozpuštěného v DMF–*d*₇ měřené při teplotě 65 °C a prezentované společně s přiřazením jednotlivých uhlíkových atomů číslovaných podle strukturního vzorce studovaného komplexu (I)
- obr. 5 ^1H – ^{13}C gs-HMQC spektrum komplexu *cis*–[Pt(L₄)₂I₂] (4; L₄ = 3-jod-7-azaindol) rozpuštěného v DMF–*d*₇ měřené při teplotě 25 °C, včetně přiřazení signálů.
- 25 – obr. 6 je znázorněním molekulové struktury komplexu *cis*–[Pt(L₈)₂I₂]·DMF (8; L₈ = 2-methyl–4-chlor-7-azaindol) s DMF jako krystalově vázanou molekulou rozpouštědla.

25

Příklady uskutečnění vynálezu

V následující části je vynález doložen, nikoli však limitován, konkrétními příklady jeho uskutečnění. Rozsah vynálezu je pak jednoznačně limitován patentovými nároky.

V níže uvedených příkladech byly připravené látky charakterizovány fyzikálně-chemickými metodami elementární analýza (stanovení procentového zastoupení uhlíku, vodíku a dusíku, (CHN(O)S analyzátor Flash 2000, Thermo Scientific), nukleární magnetická rezonance (NMR; ^1H , ^{13}C , ^1H – ^1H gs-COSY, ^1H – ^{13}C gs-HMQC, ^1H – ^{13}C gs-HMBC experimenty, 400 MHz NMR, Varian) a monokrystalová rentgenová strukturní analýza (Xcalibur2, Oxford Diffraction).

Pro stanovení *in vitro* protinádorové aktivity připravených komplexů, jak je uvedeno v příkladu 2 byla použita mikrotitrační metoda využívající 3-(4,5-dimethylthiazol-2-yl)-2,5-difenyltetrazolium bromid (MTT) jako indikátor viability buněk. Testem jsou detekovány životoschopné buňky, přičemž jejich počtu odpovídá množství zredukovaného MTT. *In vitro* testy protinádorové aktivity byly provedeny na následujících lidských nádorových buněčných liniích: prsní karcinom MCF7, osteosarkom HOS, karcinom plic A549, maligní melanom G361, karcinom děložního čípku HeLa, karcinom vaječníku A2780, *cisplatin*-rezistentní karcinom vaječníku A2780R a karcinom prostaty 22Rv1. Linie byly udržovány v plastikových lahvicích v DMEM médiu (5 g/l glukózy, 2 mM glutaminu, 100 U/ml penicilinu, 100 µg/ml streptomycinu, 10% fetálního telecího séra a hydrogenuhličitan sodný) pro buněčné kultury. Susenze buněk (*ca* 1,25 × 10⁵ buněk ml⁻¹) byly rozpipetovány po 80 µl na devadesátišepti jamkové mikrotitrační destičky. Tyto byly preinkubovány při 37 °C v CO₂ atmosféře po dobu 24 hodin. Testované platnaté dichlorido komplexy a *cisplatina* byly předrozpuštěny v *N,N*'-dimethylformamidu, naředěny do koncentrace 50,0 mM a tyto sloužily jako zásobní roztoky. Pro vlastní experiment byly zásobní roztoky řeďeny 1000x v kultivačním médiu do maximální koncentrace 50,0 µM. Po odsátí kultivačního média byla směs jednotlivých testovaných látek přidána k preinkubované suspenzi nádorových buněk.

Směsi byly následně inkubovány po dobu 24 h při teplotě 37 °C, 100% vlhkosti a v atmosféře CO₂. Poté byl přidán roztok MTT a následovala inkubace po dobu 1 hodiny. MTT analýza byla provedena spektrofotometricky (TECAN, Schoeller Instruments LLC) při 540 nm. Inhibiční koncentrace testovaných komplexů IC₅₀ (μM), odpovídající koncentraci testovaných látek potřebné k inhibici růstu 50 % vložených nádorových buněk, byly vypočteny z dávkových křivek.

Příklad 1: Příprava a charakterizace platnatých dijodo-komplexů se 7-azaindolem a jeho deriváty

10 Platnaté dijodo-komplexy se 7-azaindolem a jeho deriváty *cis*-[Pt(L₁)₂I₂] (1), *cis*-[Pt(L₂)₂I₂] (2), *cis*-[Pt(L₃)₂I₂] (3), *cis*-[Pt(L₄)₂I₂] (4), *cis*-[Pt(L₅)₂I₂] (5), *cis*-[Pt(L₆)₂I₂] (6), *cis*-[Pt(L₇)₂I₂] (7) a *cis*-[Pt(L₈)₂I₂] (8), kde L₁ = 7-azaindol, L₂ = 3-chlor-7-azaindol, L₃ = 3-brom-7-azaindol, L₄ = 3-jod-7-azaindol, L₅ = 4-chlor-7-azaindol, L₆ = 4-brom-7-azaindol, L₇ = 5-brom-7-azaindol a L₈ = 2-methyl-4-chlor-7-azaindol, byly připraveny syntetickým postupem, na jehož počátku 15 byl výchozí tetrachloroplatnatán draselný (K₂PtCl₄; 0,5 mmol, 207,5 mg) rozpuštěn za laboratorní teploty v 10 ml destilované vody. Do roztoku byl v nadbytku přisypán jodid draselný (KJ; 2,5 mmol, 415,0 mg) a směs se za laboratorní teploty míchala po dobu 60 až 90 min, během které vznikl tetrajodoplatnatán draselný (K₂PtI₄), což se projevilo výraznou změnou zbarvení reakční směsi až do temně červenočerného. Do tohoto roztoku byl přilišt roztok 1,0 mmol příslušného 20 derivátu 7-azaindolu (118,1 mg L₁, 152,6 mg L₂ a L₅, 197,0 mg L₃, L₆ a L₇, 244,0 mg L₄ a 166,6 mg L₈) v 10 ml etanolu nebo metanolu. Reakční směs byla za laboratorní teploty míchána 24 h, poté byl vzniklý žlutý produkt odfiltrován a promyt destilovanou vodou (2 x 5 ml), etanolem nebo metanolem (2 x 5 ml) a diethyletherem (2 x 5 ml). Produkt byl vysušen a uchován v exsikátoru nad silikagelem. Připravené komplexy 1–8 byly studovány elementární analýzou (C, H, N), ¹H a ¹³C NMR (obr. 1, 2, 3 a 4) a 2D NMR (obr. 5) spektroskopí a v případě DMF-solvátu komplexu 8 také monokrystalovou rentgenovou strukturní analýzou (obr. 6).

30 *cis*-[Pt(L₁)₂I₂] (1): Prvkové složení pro C₁₄H₁₂N₄I₂Pt (M_r = 685,17) vypočteno: C, 24,54; H, 1,77; N, 8,18%; nalezeno: 24,40; H, 1,63; N, 8,02%. ¹H NMR (DMF-*d*₇, 25 °C, SiMe₄, ppm): δ 13,33 a 12,78 (br, N1H, 1H), 8,97 (d, 4,7, C6H, 1H), 8,03 (br, C4H, 1H), 7,80 (s, C2H, 1H), 7,20 (br, C5H, 1H), 6,60 (s, C3H, 1H). ¹³C NMR (DMF-*d*₇, SiMe₄, ppm): δ 148,57 (C7'), 145,93 (C6), 132,16 (C4), 128,58 (C2), 124,31 (C3'), 117,68 (C5), 102,82 (C3).

35 *cis*-[Pt(L₂)₂I₂] (2): Prvkové složení pro C₁₄H₁₀N₄Cl₂I₂Pt (M_r = 754,05) vypočteno: C, 22,30; H, 1,34; N, 7,43%; nalezeno: 22,60; H, 1,27; N, 7,57%. ¹H NMR (DMF-*d*₇, 25 °C, SiMe₄, ppm): δ 13,76 a 13,07 (br, N1H, 1H), 9,10 (d, 5,3, C6H, 1H), 8,08 (br, C4H, 1H), 8,03 (s, C2H, 1H), 7,37 (m, C5H, 1H). ¹³C NMR (DMF-*d*₇, SiMe₄, ppm): δ 147,46 (C6), 146,19 (C7'), 129,99 (C4), 126,25 (C2), 125,85 (C3'), 118,40 (C5), 105,05 (C3).

40 *cis*-[Pt(L₃)₂I₂] (3): Prvkové složení pro C₁₄H₁₀N₄Br₂I₂Pt (M_r = 842,96) vypočteno: C, 19,95; H, 1,20; N, 6,65%; nalezeno: 19,53; H, 1,02; N, 6,49%. ¹H NMR (DMF-*d*₇, 25 °C, SiMe₄, ppm): δ 13,85 a 13,19 (br, N1H, 1H), 9,06 (br, C6H, 1H), 8,09 (br, C2H, 1H), 7,79 (s, C4H, 1H), 7,33 (br, C5H, 1H). ¹³C NMR (DMF-*d*₇, SiMe₄, ppm): δ 147,15 (C7'), 145,84 (C6), 133,59 (C2), 132,43 (C4), 126,73 (C3'), 118,81 (C5), 56,45 (C3).

45 *cis*-[Pt(L₄)₂I₂] (4): Prvkové složení pro C₁₄H₁₀N₄I₄Pt (M_r = 936,96) vypočteno: C, 17,95; H, 1,08; N, 5,98%; nalezeno: 17,53; H, 1,02; N, 5,49%. ¹H NMR (DMF-*d*₇, 25 °C, SiMe₄, ppm): δ 13,85 a 13,19 (br, N1H, 1H), 9,06 (br, C6H, 1H), 8,09 (br, C2H, 1H), 7,79 (s, C4H, 1H), 7,33 (br, C5H, 1H). ¹³C NMR (DMF-*d*₇, SiMe₄, ppm): δ 147,15 (C7'), 145,84 (C6), 133,59 (C2), 132,43 (C4), 126,73 (C3'), 118,81 (C5), 56,45 (C3).

50 *cis*-[Pt(L₅)₂I₂] (5): *Anal.* Vypočteno pro C₁₄H₁₀N₄Cl₂I₂Pt (M_r = 754,05) vypočteno: C, 22,30; H, 1,34; N, 7,43%; nalezeno: 22,07; H, 1,46; N, 6,85%. ¹H NMR (DMF-*d*₇, 25 °C, SiMe₄, ppm): δ 13,77 a 13,12 (br, N1H, 1H), 8,98 (br, C6H, 1H), 7,95 (br, C2H, 1H), 7,37 (br, C5H, 1H), 6,67

(br, C3H, 1H). ^{13}C NMR (DMF- d_7 , SiMe₄, ppm): δ 147,96 (C7'), 146,35 (C6), 138,45 (C4), 129,63 (C2), 123,28 (C3'), 118,04 (C5), 101,07 (C3).

5 *cis*-[Pt(L₆)₂I₂] (6): Prvkové složení pro C₁₄H₁₀N₄Br₂I₂Pt ($M_r = 842,96$) vypočteno: C, 19,95; H, 1,20; N, 6,65%; nalezeno: 19,60; H, 1,22; N, 6,25%. ^1H NMR (DMF- d_7 , 25 °C, SiMe₄, ppm): δ 13,78 a 13,12 (br, N1H, 1H), 8,88 (br, C6H, 1H), 7,96 (br, C2H, 1H), 7,51 (br, C5H, 1H), 6,59 (br, C3H, 1H). ^{13}C NMR (DMF- d_7 , SiMe₄, ppm): δ 147,04 (C7'), 146,02 (C6), 129,64 (C2), 128,02 (C3'), 125,68 (C4), 121,11 (C5), 102,66 (C3).

10 10 *cis*-[Pt(L₇)₂I₂] (7): Prvkové složení pro C₁₄H₁₀N₄Br₂I₂Pt ($M_r = 842,96$) vypočteno: C, 19,95; H, 1,20; N, 6,65%; nalezeno: 19,55; H, 1,03; N, 6,23%. ^1H NMR (DMF- d_7 , 25 °C, SiMe₄, ppm): δ 13,66 a 12,97 (br, N1H, 1H), 9,26 (br, C6H, 1H), 8,27 (br, C4H, 1H), 7,90 (br, C2H, 1H), 6,60 (br, C3H, 1H). ^{13}C NMR (DMF- d_7 , SiMe₄, ppm): δ 146,85 (C7'), 145,82 (C6), 134,36 (C4), 130,83 (C2), 126,01 (C3'), 110,86 (C5), 102,70 (C3).

15 15 *cis*-[Pt(L₈)₂I₂] (8): Prvkové složení pro C₁₆H₁₄N₄Cl₂I₂Pt ($M_r = 782,10$) vypočteno: C, 24,57; H, 1,80; N, 7,16%; nalezeno: 24,35; H, 1,93; N, 7,04%. Základní krystalografická data pro *cis*-[Pt(L₈)₂I₂] \cdot DMF: Prostorová grupa P-1, $a = 11,0784(2)$, $b = 11,0789(2)$, $c = 11,6320(2)$ Å, $\alpha = 76,6972(17)$, $\beta = 65,0446(18)$, $\gamma = 71,7722(16)^\circ$, $V = 1221,42(4)$ Å³, $T = 120$ K, $Z = 2$, $R_1 [I > 2\sigma(I)] = 2,48\%$. Pt1–I1 = 2,5833(4), Pt1–I2 = 2,5836(4), Pt1–N7 = 2,044(4), Pt1–N7a = 2,055(4) Å, I1–Pt1–I2 = 92,237(13°), N7–Pt1–N7a = 88,87(16°), 1Å = 0,1 nm.

25 Příklad 2: *In vitro* protinádorová aktivita studovaných komplexů vůči zvoleným lidským nádorovým liniím a jejich srovnání s *cisplatinou*

30 Pro stanovení *in vitro* protinádorové aktivity studovaných komplexů *cis*-[Pt(L₅)₂I₂] (5), *cis*-[Pt(L₆)₂I₂] (6), *cis*-[Pt(L₇)₂I₂] (7), *cis*-[Pt(L₈)₂I₂] (8) a *cisplatinu* vůči lidským nádorovým liniím (prsní karcinom MCF7, osteosarkom HOS, karcinom plic A549, maligní melanom G361, karcinom děložního čípku HeLa, karcinom vaječníku A2780, *cisplatin*-rezistentní karcinom vaječníku A2780R a karcinom prostaty 22Rv1) byl použit výše popsaný MTT test (L₁ = 7-azaindol, L₂ = 3-chlor-7-azaindol, L₃ = 3-brom-7-azaindol, L₄ = 3-jod-7-azaindol, L₅ = 4-chlor-7-azaindol, L₆ = 4-brom-7-azaindol, L₇ = 5-brom-7-azaindol a L₈ = 2-methyl-4-chlor-7-azaindol).

35 35 Protinádorová aktivita studovaných komplexů a *cisplatinu*, jako zvoleného standardu, vyjádřená hodnotami inhibiční koncentrace IC₅₀ (μM) je uvedena v Tabulce 1.

40 Tabulka 1: *In vitro* protinádorová aktivita studovaných komplexů vůči lidským nádorovým buňčným liniím prsního karcinomu MCF7, osteosarkomu HOS, karcinomu plic A549, maligního melanomu G361, karcinomu děložního čípku HeLa, karcinomu vaječníku A2780, *cisplatin*-rezistentního karcinomu vaječníku A2780R a karcinomu prostaty 22Rv1 a jejich srovnání s *cisplatinou* (CDDP) vyjádřené v hodnotách inhibiční koncentrace IC₅₀ (μM)

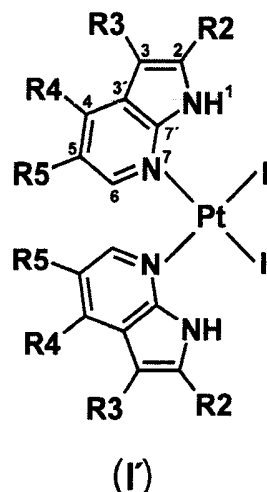
	MCF7	HOS	A549	G361	HeLa	A2780	A2780R	22Rv1
1	1,7±0,8	0,8±0,4	12,3±1,1	2,9±0,6	7,0±0,6	3,5±0,7	3,3±0,3	4,6±1,2
2	1,5±0,4	1,3±0,8	6,4±1,4	2,3±1,0	4,8±0,4	4,1±0,8	3,3±0,5	4,8±2,4

3	$1,9 \pm 0,5$	$2,2 \pm 1,2$	$8,8 \pm 2,2$	$3,1 \pm 0,2$	$4,7 \pm 0,8$	$2,8 \pm 0,3$	$3,2 \pm 0,2$	$4,2 \pm 1,2$
4	$1,8 \pm 0,3$	$2,8 \pm 1,0$	$9,8 \pm 1,3$	$1,6 \pm 0,7$	$6,2 \pm 0,7$	$2,3 \pm 1,1$	$2,6 \pm 0,8$	$4,5 \pm 1,6$
5	$1,5 \pm 0,5$	$0,5 \pm 0,2$	$4,7 \pm 0,3$	$3,2 \pm 0,2$	$3,8 \pm 0,3$	$3,7 \pm 1,1$	$3,4 \pm 0,2$	$4,2 \pm 0,1$
6	$1,0 \pm 0,4$	$0,4 \pm 0,1$	$4,3 \pm 0,9$	$3,2 \pm 0,2$	$3,8 \pm 0,2$	$3,7 \pm 1,1$	$3,3 \pm 0,4$	$3,8 \pm 0,1$
7	$1,6 \pm 0,8$	$1,4 \pm 1,1$	$7,3 \pm 1,6$	$3,4 \pm 0,3$	$5,4 \pm 1,2$	$3,4 \pm 0,2$	$3,5 \pm 0,5$	$5,1 \pm 0,8$
8	$2,1 \pm 1,0$	$0,7 \pm 0,2$	$3,5 \pm 0,2$	$1,7 \pm 1,3$	$3,8 \pm 0,1$	$1,7 \pm 1,1$	$1,0 \pm 0,4$	$3,5 \pm 0,2$
CDDP	$17,9 \pm 3,5$	$18,9 \pm 1,7$	>50,0	$5,3 \pm 0,7$	$30,4 \pm 11,0$	$21,6 \pm 0,6$	$20,2 \pm 4,7$	$26,9 \pm 3,5$

5

PATENTOVÉ NÁROKY

1. Dijodo-komplexy platiny v oxidačním stupni +II se 7-azaindolem nebo jeho deriváty obecného vzorce *cis*-[Pt(L)₂I₂] I, vyjádřené strukturním vzorcem I'



kde

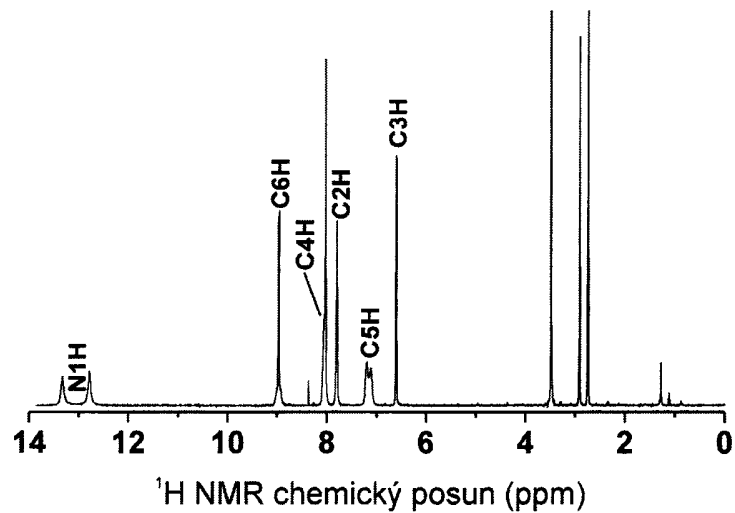
symbol L představuje 7-azaindol nebo jeho derivát vázaný na atom platiny přes atom dusíku N7, přičemž pokud L představuje derivát 7-azaindolu, tak alespoň jeden ze substituentů R2, R3, R4 a R5 je vybrán z funkčních skupin alkyl nebo halogen, kde halogen je vybrán ze skupiny F, Cl, Br, I, a alkyl představuje rozvětvený nebo nerozvětvený uhlovodíkový řetězec z 1 až 6, především pak z 1 až 4, atomů uhlíku.

2. Krystalosolvatý komplex platiny vzorce I a I' podle nároku 1, kde u sloučenin obecného složení *cis*-[Pt(L)₂I₂]·nSolv jsou

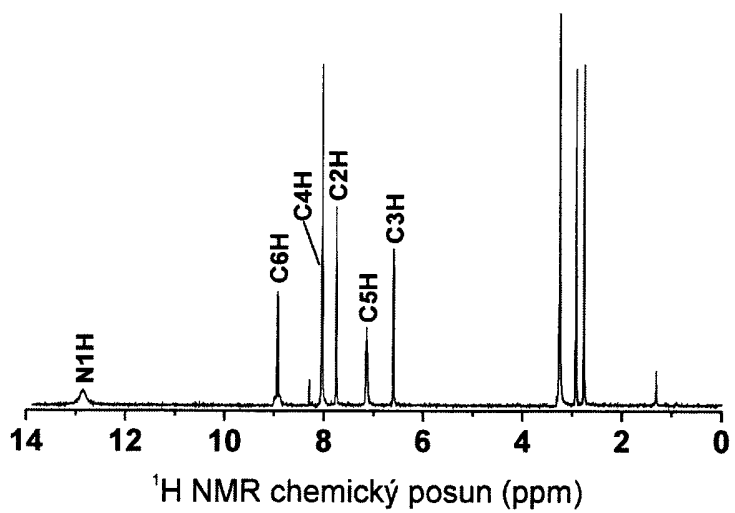
- L je 7-azaindol nebo jeho derivát podle nároku 1, vázaný na atom platiny přes atom dusíku N7
- n udává počet krystalově vázaných molekul, především 1 až 6, a
- Solv je konkrétní molekula použitého rozpouštědla a/nebo některá z reakčních komponent vybraná ze skupiny voda, primární alkohol, sekundární alkohol, aceton, *N,N'*-dimethylformamid,

dimethyl sulfoxid, chloroform, dichlormethan, acetonitril nebo diethylether, a to buď samostatně, nebo v kombinaci uvedených solvátových molekul.

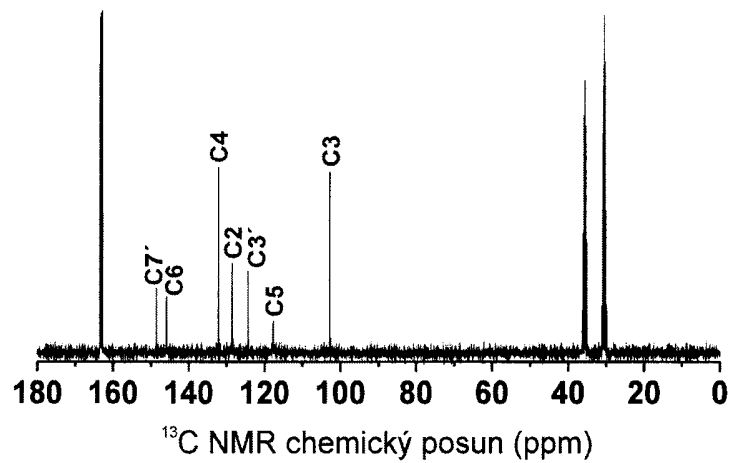
- 5 **3.** Farmakologický prostředek, **v y z n a č u j í c í s e t í m**, že obsahuje terapeutický účinné
množství platnatých komplexů vzorce I a I' podle nároku 1 nebo jejich krystalosolvátů podle
nároku 2 s jedním či více přijatelnými nosiči a pomocnými látkami.
- 10 **4.** Farmakologický prostředek podle nároku 3 pro použití pro léčbu prsního karcinomu a/nebo
pro léčbu osteosarkomu a/nebo pro léčbu karcinomu vaječníku a/nebo pro léčbu karcinomu va-
ječníku rezistentního vůči *cisplatině* a/nebo pro léčbu karcinomu prostaty a/nebo pro léčbu karc-
inomu plic a/nebo pro léčbu karcinomu děložního čípku a/nebo pro léčbu maligního melanomu.



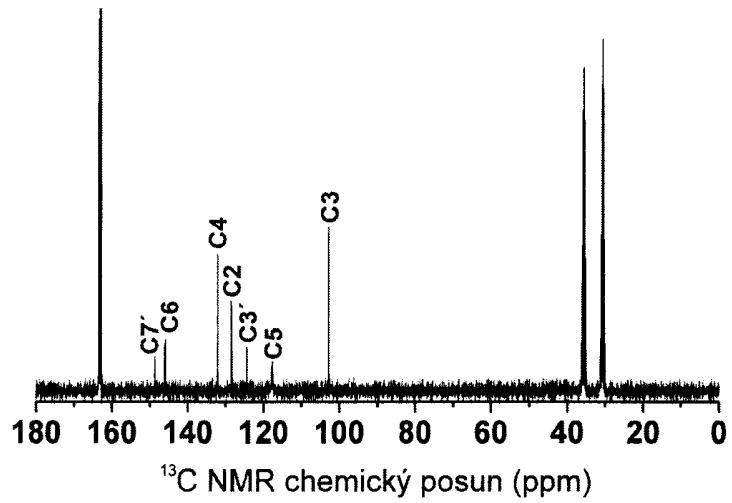
OBR. 1



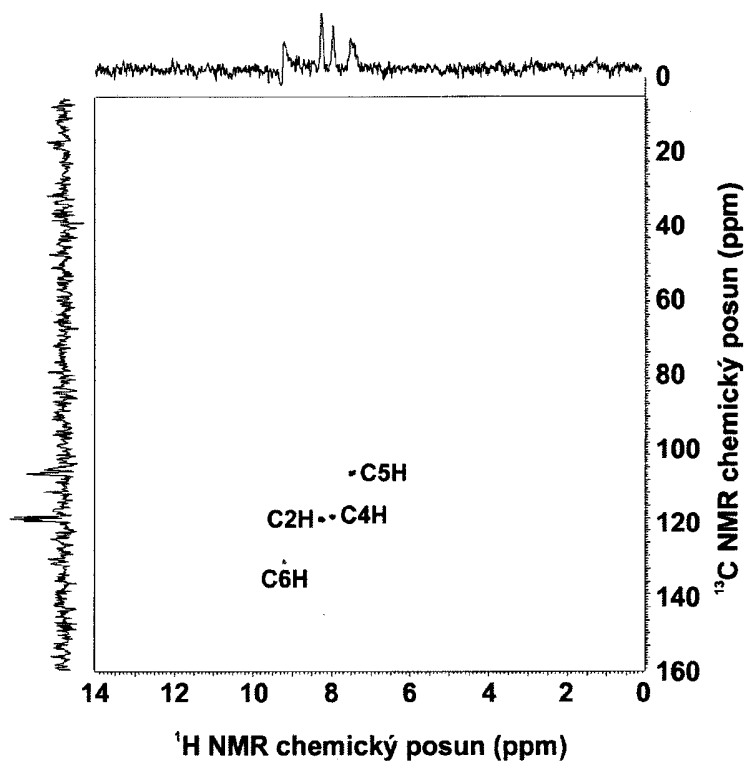
OBR. 2



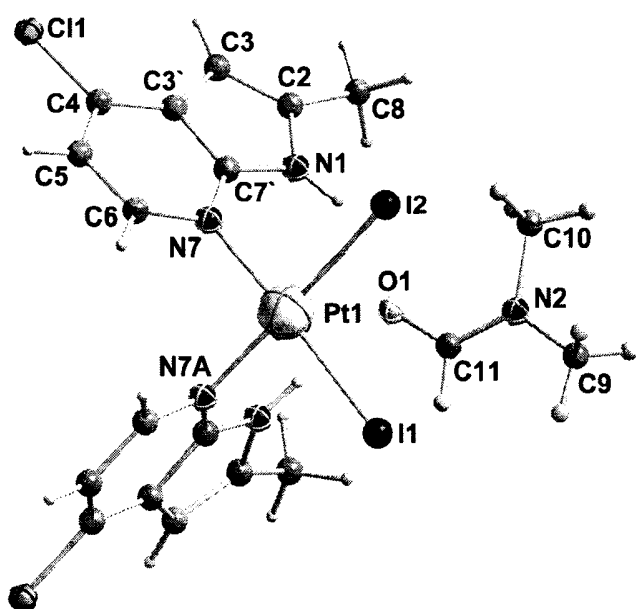
OBR. 3



OBR. 4



OBR. 5



OBR. 6